

# مدل سازی رفتار لرزه‌بی و برآورد خسارت دیوارهای گهواره‌بی بتنی تحت بار زلزله

نسرن عباسی (دانشجوی کارشناسی ارشد)

حبيب اکبرزاده بنگر\* (دانشیار)

گروه مهندسی عمران، دانشکده فنی و مهندسی، دانشگاه مازندران، بابلسر

ابوده جعفری (دکترا)

دانشکده مهندسی مکانیک، دانشگاه شانگهای جانوونگ، شانگهای، چین

هریم نظری (استادیار)

دانشکده مهندسی عمران، دانشگاه ایالتی کالیفرنیا، لس آنجلس، کالیفرنیا، آمریکا.

استفاده از دیوارهای گهواره‌بی به عنوان یک جایگزین در جهت رفع برخی نواقص لرزه‌بی دیوارهای برشی همانند خسارت چشمگیر در پایه و تعییر مکان ماندگار، با استقبال گستردگی روبرو شده است. علی‌رغم کارهای آزمایشگاهی مختلف در خصوص عملکرد لرزه‌بی دیوارهای گهواره‌بی، تاکنون مدلی تحلیلی، که رفتار غیرخطی آن را تحت زلزله پیش‌بینی و میزان خسارت در سطح دیوار را مشخص کند، ارائه نشده است. هدف از پژوهش حاضر، ارائه روشی کاربردی جهت مدل سازی و تخمین خسارت دیوارهای گهواره‌بی با کابل‌های پس‌کشیده تحت بارگذاری لرزه‌بی است. بدین منظور جهت مدل سازی دیوار گهواره‌بی از نرم افزار ۳D PERFORM استفاده شده است. جهت اطمینان از صحبت مدل سازی، نتایج آزمایشگاهی با نتایج تحلیلی مقایسه شده‌اند، که مدل پیشنهادی به خوبی می‌تواند رفتار غیرخطی دیوار گهواره‌بی را تحت زلزله پیش‌بینی کند. همچنین با استفاده از شاخص خرایی، میزان خسارت واردہ به دیوار با بهره‌گیری از نتایج مدل سازی برآورده شده است، که مقایسه‌ی بین خرایی برآورده و دیوار آزمایشگاهی انباتق بالایی را نشان داده است.

n.abbasi@stu.umz.ac.ir  
h.akbarzadeh@umz.ac.ir  
a.jafari@sjtu.edu.cn  
mnazari12@calstatela.edu

وازگان کلیدی: دیوار گهواره‌بی، مرکزگرایی بتنی، کابل پس‌کشیدگی غیرچسبیده، مدل سازی رفتار غیرخطی، آزمایش میز لرزه‌بی، برآورد خسارت.

## ۱. مقدمه

بررسی خسارت ناشی از زمین‌لرزه در ساختمان‌های متداول دارای دیوارهای برشی بتن مسلح نشان می‌دهد که دیوارهای برشی بتن مسلح نه فقط تأثیر بسزایی در کاهش خسارت حاصل از زلزله‌های معمولی دارند، بلکه در زلزله‌های شدید نیز می‌توانند از وقوع فروپاشی سازه جلوگیری کنند.<sup>[۱]</sup> استفاده از دیوارهای برشی بتن مسلح علاوه بر افزایش ظرفیت باربری ساز، انعطاف‌پذیری مطلوبی را نشان داده است.<sup>[۲]</sup> انعطاف‌پذیری دیوارهای برشی بتن مسلح عمدهاً توسط تغییر شکل‌های گستردگی غیرکشسان (خمیری) در آن‌ها به وجود می‌آید. تغییر شکل‌های خمیری پای دیوار با تسیلیم شدن آرماتورها همراه است و در نتیجه، شکل‌پذیری سازه‌بی، استهلاک انرژی و کاهش نیروی اینرسی ناشی از زلزله قابل حصول خواهد بود. اگرچه وقوع تغییر شکل‌های مذکور از یک سو باعث افزایش شکل‌پذیری در سازه‌های اخیر می‌شود، اما از سوی دیگر باعث به وجود آمدن خسارت‌های شدید در ناحیه‌ی پای دیوار

\* نویسنده مسئول  
تاریخ: دریافت ۲/۶، ۱۳۹۹، اصلاحیه ۹/۱، پذیرش ۱۳۹۹/۹/۲۳  
DOI:10.24200/J30.2020.55368.2728

به کارگرفته شده برای پاسخ استاتیکی دیوارگهواره‌یی، پیش‌بینی دقیقی از رفتار لرزه‌یی بود. دیوارهای گهواره‌یی ارائه نکرده است. لذا در پژوهش حاضر، مدل عددی اجزاء محدود سه‌بعدی جهت پیش‌بینی رفتار دیوارگهواره‌یی مرکزگرای بتی با کابل پس‌کشیدگی غیرچسبیده تحت بار زلزله ارائه شده است؛ همچنین از نتایج به دست آمده از بارگذاری مدل عددی پیشنهادی جهت تخمین میزان خرابی در سطح دیوارهای گهواره‌یی استفاده شده است.

## ۲. مدل‌سازی غیرخطی رفتار لرزه‌یی دیوارگهواره‌یی

### مرکزگرای پس‌کشیده

در بخش کنونی، جهت ارزیابی مدل عددی پیشنهادی دیوارگهواره‌یی تحت بار زلزله، از جزئیات به کار رفته در دیوارگهواره‌یی آزمایش شده توسط تویدن و همکاران (۲۰۱۷)،<sup>۱۹</sup> استفاده شده است. ایشان دیوارگهواره‌یی تنها (SRW)<sup>۹</sup> را تحت آزمایش بارگذاری شبه استاتیکی و بارگذاری میز لرزه‌یی قراردادند. در طراحی دیوارهای SRW از آین نامه‌ی بارگذاری لرزه‌یی نیوزلند،<sup>۲۰</sup> استفاده شده است. همان‌گونه که در شکل ۱ مشاهده می‌شود، دیوار مورد مطالعه به همراه یک المان بتی حجیم، که می‌توان آن را صلب لحظه کرد، روی میز لرزه‌یی آزمایش شده است.

جزیات آرماتورگذاری طولی و عرضی و همچنین کابل‌های فولادی موردنیاز دیوار در شکل ۱ - ج ارائه شده است، همچنین ابعاد دیوار مورد آزمایش برابر: ارتفاع ۲۸۶۰ mm، طول ۸۰۰ mm و ضخامت ۱۲۵ mm لحظه شده است. مطابق شکل ۱ - ب، به علت بارگذاری دیوار به صورت بلک بتی روی دیوار، ارتفاع نقطه‌ی اعمال بار جانبی از فونداسیون ۲۶۵۷ mm در نظر گرفته شده است.

در مطالعه‌ی حاضر برای مدل‌سازی رفتار غیرخطی دیوارگهواره‌یی مرکزگرای بتی با کابل پس‌کشیدگی غیرچسبیده، نرم افزار ۳D PERFORM<sup>۲۱</sup> استفاده شده است. با توجه به نسبت ابعادی دیوار مورد آزمایش می‌توان آن را جزو دیوارهای لاگر و رفتار غیرخطی آن را کنترل‌شونده با خمس در نظر گرفت. برای شیوه‌سازی رفتار دیوار، با به کارگیری یک چیدمان منطقی از المان‌های فایبر بتی و فولادی، سطح مقطع المان ساخته و رفتار خمشی - محوری دیوار مدل‌سازی شده است. در نهایت، با تعریف لایه‌ی رفتار فقط برشی و اتصال آن به رفتار لایه‌ی خمشی - محوری، المان دیوار برشی مدل‌سازی شده است، که در ادامه به صورت مسروق ارائه شده است.

### ۱. المان‌های دیوار

با توجه به توضیحات ارائه شده در بخش قبل، برای مدل‌سازی رفتار دیوارهای گهواره‌یی از المان دیوار برشی<sup>۱۰</sup> نرم افزار ۳D PERFORM<sup>۲۲</sup> استفاده شده است. المان‌های دیوار برشی، المان‌های اجزاء محدود چندلایه‌یی هستند که مقطع عرضی آن‌ها متشکل از فایبر حاوی قسمت بتی و فولادی است. برای مدل‌سازی رفتار بتن به کار رفته در دیوار، فقط از یک لایه برای مدل‌سازی رفتار خمشی - محوری و یک لایه برای مدل‌سازی رفتار برشی دیوار و همچنین برای میلگرد های دیوار از یک لایه برای مدل‌سازی رفتار خمشی - محوری استفاده شده است. با توجه به عدم پیوستگی میان تاندون‌های پس‌کشیده کمنده و بتن دیوار، رفتار آن‌ها به صورت مجرزا از المان‌های دیوار مدل‌سازی شده است. در شکل ۲، نحوه و تعداد مشنوندی ایجاد شده در دیوار با توجه به قابلیت‌های نرم افزار (امکان استفاده از المان‌های ۴ گرهی)، وجود رفتار متفاوت در المان‌های نقاط مختلف، اتصال تاندون‌ها به دو سر

بسیار کمتر از میزان مشابه آن برای یک سازه‌ی بتی متداول باشد.<sup>۲۳</sup> کاربرد سیستم‌های گهواره‌یی فقط به سازه‌های جدید خلاصه نمی‌شود، بلکه می‌توان از آن‌ها برای مقاومت‌سازی دیوارهای بتن مسلح در ساختمان‌های موجود، که در زلزله‌های پیشین خسارت دیده‌اند و یا مقاومت لرزه‌یی مناسب ندارند، نیز استفاده کرد.<sup>۲۴</sup>

در بیشتر پژوهش‌های انجام شده، سیستم‌های دیوارگهواره‌یی بتی پیش‌ساخته با کابل پس‌کشیدگی غیرچسبیده در معزز آزمایش بارگذاری شبه استاتیک<sup>۲</sup> (بارگذاری رفت و برگشتی درون صفحه‌یی یا چرخه‌یی) قرار گرفته‌اند.<sup>۲۵</sup> در حالی که فقط تعداد محدودی از آزمایش‌ها برای بررسی پاسخ دینامیکی سیستم‌های دیوارگهواره‌یی با استفاده از آزمایش میز لرزه‌یی<sup>۴</sup> انجام شده است.<sup>۲۶</sup> در مطالعات اخیر نظری و همکاران (۲۰۱۷) به بررسی عملکرد لرزه‌یی دیوارهای گهواره‌یی روی میز لرزه‌یی با سوط زلزله‌هایی با سطح لرزه‌یی متفاوت پرداخته‌اند.<sup>۲۷</sup> ترکیب تناوب آزمایشگاهی، دستورالعمل‌های طراحی فعلی و مدل‌های عددی نشان می‌دهند که دیوارهای گهواره‌یی می‌توانند به عنوان عنصری مقاوم در برابر زلزله طراحی شوند تا در زلزله‌هایی باشد بالاتر عملکرد مطلوبی ایجاد کنند.<sup>۲۸</sup> تویدن و هنری<sup>۵</sup> (۲۰۱۹) مطالعات دینامیکی در مورد دیوار مرکزگرای پس‌کشیده شده با کابل غیرچسبیده با استفاده از میز لرزه‌یی و یک مجموعه‌یی تشکیل از ۷ شتاب نگاشت در سطوح لرزه‌یی متفاوت برای بارگذاری دیوارها انجام دادند و دریافتند که میزان خسارت در ناحیه‌ی فشاری در قسمت پای دیوار بسیار ناچیز بوده و همچنین میزان جابه‌جایی نسبی مانندگار بسیار کاهش یافته است.<sup>۲۹</sup>

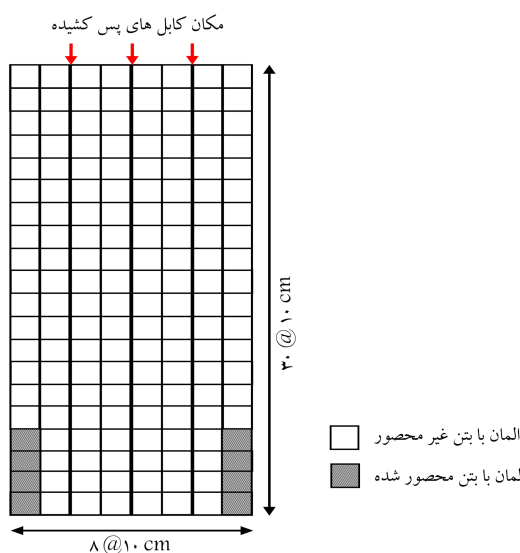
به منظور بررسی رفتار غیرخطی دیوارهای گهواره‌یی با کابل پس‌کشیده، مدل‌سازی عددی برای شیوه‌سازی پاسخ این سیستم‌ها به بار لرزه‌یی انجام شده است، که اغلب مدل‌های پیشنهادی پژوهش‌گران به صورت سازه‌ی یک درجه آزادی با جرم و فشرمعادل بوده است.<sup>۳۰</sup> از جمله محدودیت‌های مدل‌سازی به روش اخیر می‌توان به عدم توانایی پیش‌بینی خرابی در سطح و ارتفاع دیوار اشاره کرد. کوراما و همکاران<sup>۳۱</sup> (۱۹۹۹) برای مدل‌سازی دیوارگهواره‌یی با کابل پس‌کشیده، مدل المان فایبر را برای تحلیل غیرخطی بارافزون و دینامیکی تاریخچه‌ی زمانی پیشنهاد دادند.<sup>۳۲</sup> تابع حاصل از تحلیل عددی توسط مدل فایبر مطابقت خوبی با نتایج آزمایشگاهی نشان داده است؛ با وجود این، رفتار دیوار پس از باربرداری به درستی توسط روش فایبر شیوه‌سازی نمی‌شود. در برخی پژوهش‌ها از مدل‌های اجزاء محدود<sup>۷</sup> برای مدل‌سازی دیوارهای پیش‌ساخته با کابل پس‌کشیده با میلری و بدون آن استفاده شده است.<sup>۳۳</sup> که از پیچیده‌ترین روش‌ها از لحظه مدل‌سازی و محاسبات است و همچنین نتایج دقیقی از رفتار محلی و کلی یک سیستم دیوارگهواره‌یی مرکزگرا ارائه می‌دهد. در حالی که ما و همکاران (۲۰۱۶)<sup>۳۴</sup> دریافتند مدل اجزاء محدودی که دقیقاً پاسخ استاتیکی یک دیوارگهواره‌یی را پیش‌بینی می‌کند، لزوماً رفتار دینامیکی درستی را ارائه نمی‌دهد و مدل‌سازی رفتار دینامیکی دیوارهای گهواره‌یی توسط یک نرم افزار اجزاء محدود، به درستی رفتار لرزه‌یی آن را شیوه‌سازی نمی‌کند.<sup>۳۵</sup> جغفری و همکاران (۲۰۱۷)<sup>۳۶</sup> نیز با استفاده از نتایج بارگذاری چرخه‌یی یک دیوارگهواره‌یی مرکزگرای یک پارچه‌یی بتی در مقیاس واقعی، رفتار غیرخطی آن را با استفاده از یک مدل اجزاء محدود سه‌بعدی، در نرم افزار ۳D PERFORM<sup>۳۷</sup> با شیوه‌سازی کرده‌اند. نتایج بررسی‌ها نشان می‌دهند روشی که در پژوهش مذکور برای مدل کردن رفتار چرخه‌یی دیوار استفاده شده است، به خوبی رفتار سه‌بعدی آن را شبیه‌سازی کرده و همچنین میزان خسارت وارد در سطح دیوار توسط شاخص خرابی مناسب و نتایج بارگذاری مدل به درستی برآورده شده است.<sup>۳۸</sup> در بیشتر مطالعات پیشین، مدل یک بعدی برای پیش‌بینی رفتار دیوارگهواره‌یی با کابل پس‌کشیده تحت بارگذاری لرزه‌یی پیشنهاد شده و همچنین مدل اجزاء محدود

دیوار و شرایط بارگذاری آن انتخاب شده است. در پژوهش حاضر سعی بر آن بوده است تا با انتخاب ابعاد ۱۰ سانتی‌متری برای مش‌بندی، نسبت ابعادی در همه‌ی المان‌ها برابر با ۱ باشد.

در تعریف لایه‌ی خمثی - محوری بن، همان‌طور که در شکل ۲ مشاهده می‌شود، از دو نوع بن محدود شده در گوششها (قسمت هاشورخورده) و بن غیرهمحصور در سایر نقاط دیوار استفاده شده است. برای تعریف خواص فایبر بتونی لایه‌ی خمثی - محوری المان‌ها از روابط پیشنهادی مندرو همکاران (۱۹۸۸)،<sup>[۲۳]</sup> استفاده شده است.

رفتار برشی دیوار بدون استفاده از المان‌های فایبر و با تعریف منحنی رفتاری نتش برشی - کرنش برشی مناسب و اختصاص سطح مقطع عرضی لایه‌ی برشی مدل‌سازی شده است. با توجه به جزئیات مقطع دیوار، رفتار برشی دیوار را می‌توان به دو نوع لایه‌ی برشی تقسیم‌بندی کرد. با توجه به شکل ۱ - ج و شکل ۳ - الف، لایه‌ی برشی نوع ۱ با لحظات کردن مقاومت برشی بتن دیوار، آرماتورهای عرضی دیوار و آرماتور محصورکننده المان گوشش تعریف شده است و لایه‌ی برشی نوع ۲، شامل مقاومت برشی بتن و آرماتور عرضی دیوار است. در پژوهش حاضر رفتار لایه‌ی برشی المان‌های دیوار غیرخطی و مشخصات آن با استفاده از روابط ارائه شده توسط اسفندیاری (۲۰۰۹)<sup>[۲۴]</sup> تعریف شده است. الگوی منحنی نتش - کرنش برشی یشنهدادی که در شکل ۳ - ب مشاهده می‌شود، با معرفی چند پارامتر می‌تواند رفتار لایه‌ی برشی المان را مدل‌سازی کند.

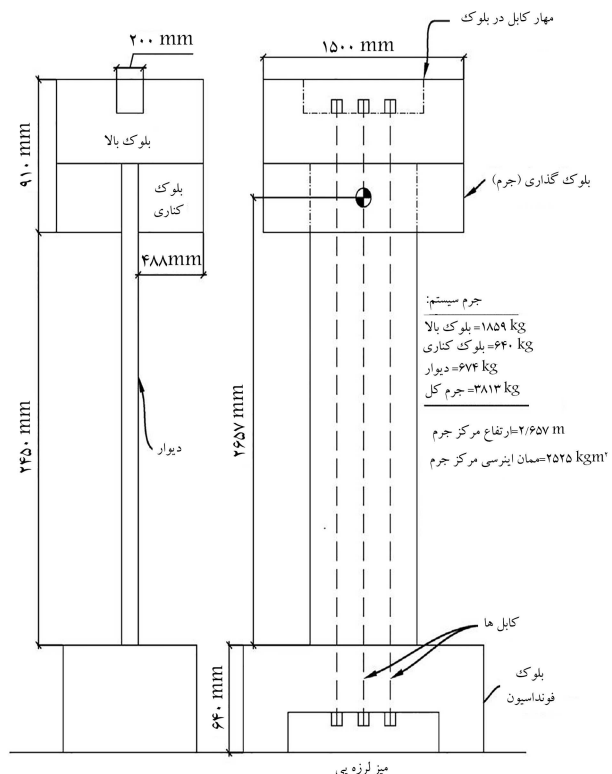
نمودار تنش - کرنش برشی پیشنهادی در قسمت ابتدایی با شیب معادل  $E_c = 4,4 G_c$  به تنش ترک خودرگی ( $f_{cr}$ ) و کرنش متناظر  $2,000 \times 10^6$  می رسید.<sup>[۱۲]</sup> در قسمت بعد، تنش برشی مقطع برابر ظرفیت برشی اسمی مقطع ( $V_n$ ) است، که با استفاده از توصیه های موجود در دستورالعمل ASCE ۴۱-۲۰۰۹<sup>[۲۵]</sup> محاسبه می شود. کرنش برشی متناظر با تنش برشی مذکور با توجه به توصیه های اسفندیاری<sup>[۲۶]</sup> لحظات شده و پیشنهادی کرنش برشی در تمام لایه های برشی برابر  $15 \times 10^6$  در نظر گرفته شده است. همان طور که پیشتر گفته شد، انتظار می رود که تسیلیم دیوار و رفتار غیرخطی حاکم بر آن به صورت خمی باشد. این تذکر لازم است که تنش برشی و کرنش برشی در تمامی تحلیل های انجام شده با مقادیر تسیلیم پارامترهای



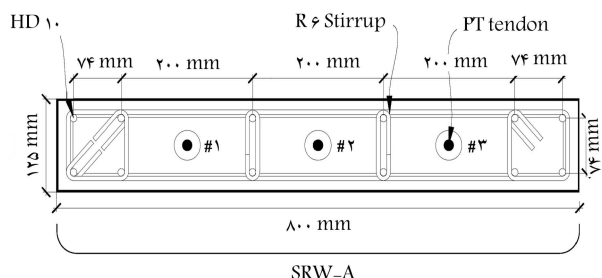
<sup>۲</sup> شکا، ایناء محدود حندلزی، مد، دیوار.



الف) دیوار آزمایشگاهی، و فونداسیون روی میز لرزه یا؛

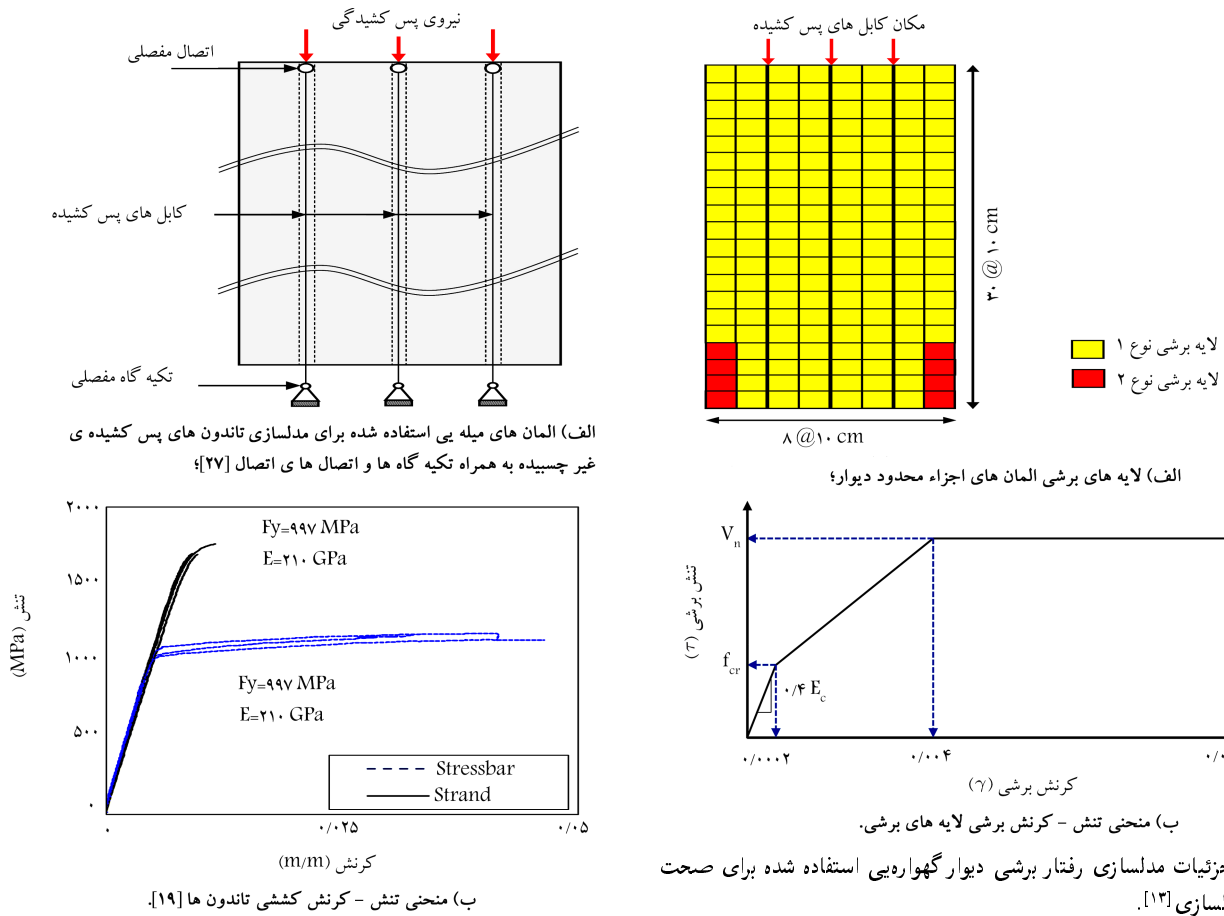


ب) دیوار مفروض برای انجام مطالعات و موقعیت تاندون های پس کشیدگی غیر چسبیده؛



ج) مقطع عرضی، نحوه قرار گرفتن آرماتورهای طولی و عرضی و محل تاندون ها [۱۹].

شکل ۱. آماده سازی آزمایش دیوار گهواره‌بی استفاده شده برای صحبت سنجی مدلسازی.



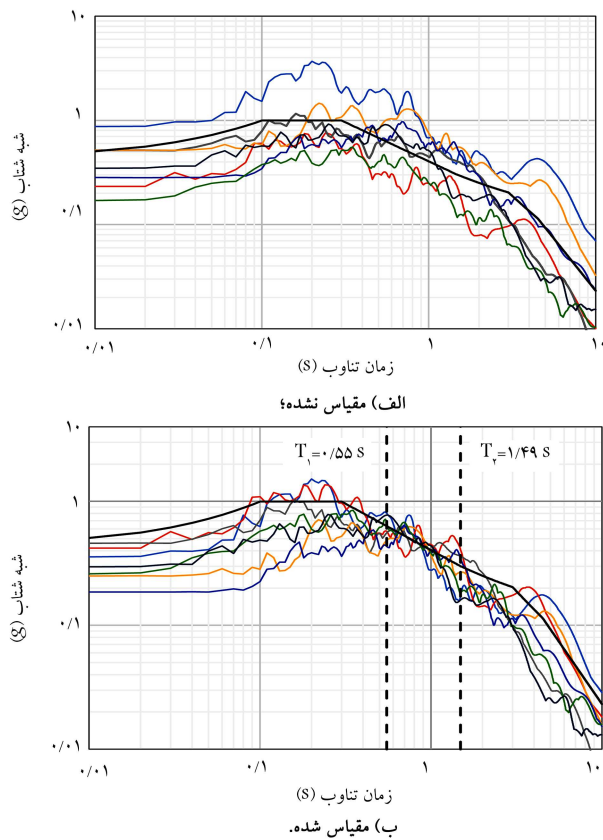
شکل ۴. جزئیات مدل‌سازی تاندون های پس کشیده کننده دیوار گهواره‌یی استفاده شده برای صحبت سنجی مدل‌سازی.

**۳.۲. مدل‌سازی تکیه گاه دیوار**  
برای مدل‌سازی تکیه گاه های دیوار باید از المان هایی استفاده کرد که خاصیت گهواره‌یی را در مدل دیوار ایجاد کنند. با توجه به نتایج آزمایش، دیوار مورد مطالعه پس از اعمال بار جانبی در یک سمت به راحتی از تکیه گاه خود خود جدا می‌شود و در سمت دیگر به تکیه گاه فشار وارد می‌کند. برای ایجاد خاصیت گهواره‌یی در مدل دیوار از المان های میله بی کشسان غیرخطی قلاب - شکاف<sup>۱۴</sup> استفاده شده است، که در شکل ۵ مشاهده می‌شود. المان های مذکور، سختی و تغییر مکان عکس العمل (شکاف) مشتب و منفی دارند. برای ایجاد رفتار گهواره‌یی در دیوارهای گهواره‌یی، سختی مشتب المان های ذکر شده بسیار ناچیز ( $10 \text{ N/m}$ ) و سختی منفی آنها بسیار بزرگ ( $1 \times 10^{14} \text{ N/m}$ ) تعریف شده است. از سوی دیگر، پارامتر شکاف مشتب المان ها عددی مذکور به نسبت بزرگ ( $0.3/0.3$ ) و پارامتر شکاف منفی آنها صفر لحاظ شده است. با توجه به مشخصات اشاره شده، در صورت وجود نیروی کششی، المان های میله بی مورد آزمایش به راحتی از تکیه گاه جدا می‌شوند و به سمت بالا حرکت می‌کنند. در صورت وجود نیروی فشاری، بلا فاصله پس از اعمال نیرو، تکیه گاه دیوار با سختی بسیار بالایی وارد عمل می‌شود و مانند یک تکیه گاه صلب عمل می‌کند. یک انتهای المان های مذکور به گره های المان های دیوار و انتهای دیگر آنها به تکیه گاه های مفصلی متصل شده است. همان طوری که بیشتر بیان شد، دیوار در یک المان بتئی حجیم، که می‌توان آن را صلب لحاظ کرد، قرار

**۲.۲. مدل‌سازی کابل پس کشیدگی غیر چسبیده**  
تاندون های استفاده شده برای اعمال نیروی پس کشیدگی در تمام ارتفاع دیوار درون غلاف قرار گرفته‌اند، در نتیجه اندرکششی میان بین دیوار و تاندون ها وجود ندارد. تاندون های مذکور با استفاده از المان های میله بی، که جنس آنها از مصالح غیرخطی فولادی - صرفاً کششی<sup>۱۱</sup> انتخاب شده است، مدل‌سازی شده‌اند. با توجه به شکل ۴ - الف، قسمت پایینی تاندون های استفاده شده با استفاده از تکیه گاه مفصلی در پای دیوار ثابت و قسمت بالایی آنها به صورت مفصلی به گره های المان های بتئی دیوار متصل شدند. تکیه گاه مفصلی تاندون های استفاده شده در فاصله‌یی اندک از پای دیوار قرار گرفته است، تا از ایجاد اندرکشش میان تکیه گاه تاندون ها و تکیه گاه المان های گهواره‌یی شود. تاندون های به کار رفته در دیوار نوعی رشتہ‌ی فولادی پیش‌تنیده<sup>۱۲</sup> به قطر  $15/2$  میلی‌متر بودند. نمودار تنش - کرنش تاندون ها مطابق استاندارد آزمایش کششی اجراء فلزی،<sup>[۱۹]</sup> است و در شکل ۴ - ب مشاهده می‌شود. علاوه بر موارد اخیر، برای تعريف منحنی تنش - کرنش تاندون ها، از مدل ارائه شده دوالاپور و تادروس<sup>۱۳</sup> (۱۹۹۹)،<sup>[۲۰]</sup> استفاده شده است. پس از مدل‌سازی دیوار برای اعمال نیروی حاصل از فرایند پس کشیدگی تاندون ها، کرنش معادل با تنش کششی  $696 \text{ مگا پاسکال}$  به تاندون های دیوار محاسبه و به صورت کرنش کششی اولیه در تاندون ها اعمال شده است.

جدول ۱. خلاصه‌ی از شتاب‌نگاشت‌ها و ضرایب مقیاس متناظر با آن‌ها.

$k_2$	$k_1$	$M_w$	ایستگاه	سال	زمین‌لرزه	شتاب‌نگاشت
۱/۰	۰,۴۱۰	۷/۴	Tabas	۱۹۸۷	طبس (ایران)	۱
۱/۰	۱,۸۰۸	۶/۶	LA Hollywood	۱۹۷۱	سانفراناندو (آمریکا)	۲
۱/۰	۰,۸۹۴	۶/۹	Saratoga Aloha Ave	۱۹۸۹	لوما پریتا (آمریکا)	۳
۱/۰	۰,۴۸۶	۷/۱	Duzce	۱۹۹۹	دازچه (ترکیه)	۴
۱/۰	۰,۶۵۷	۸/۳	HKD۰۸۵	۲۰۰۳	هوکایدو (ژاپن)	۵
۱/۰	۱,۵۳۲	۸/۱	La Union	۱۹۸۵	لا اونیون (مکزیک)	۶
۱/۰	۰,۸۵۴	۷/۰	EL Centro	۱۹۴۰	امپریال والی (آمریکا)	۷

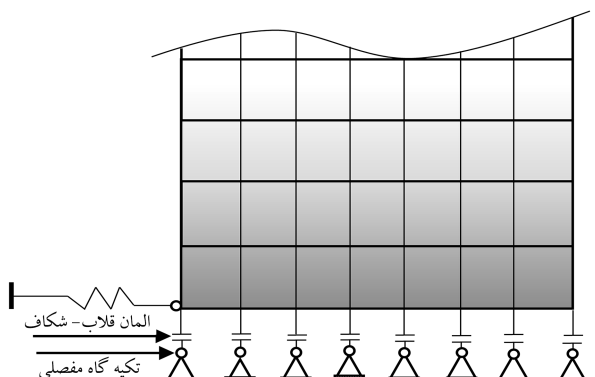


شکل ۶. طیف پاسخ شبه‌ی شتاب زلزله‌ها (طیف طرح با خط مشکی).<sup>[۱۹]</sup>

۱ تا ۴ به ترتیب زلزله‌ی سطح سرویس I،<sup>[۱۵]</sup> زلزله‌ی سطح سرویس II،<sup>[۱۶]</sup> زلزله‌ی سطح طراحی<sup>[۱۷]</sup> و زلزله با سطح پیشنهادی شدت<sup>[۱۸]</sup> به سازه اعمال شده است.<sup>[۱۹]</sup>

#### ۴. شاخص خرابی

شناسایی و ارزیابی خرابی سازه‌ها از تقاضای زلزله و نتایج آزمایشگاهی، هزینه‌بر و دشوار است. یکی از راه‌های شناسایی خرابی در سازه‌ها، استفاده از شاخص‌ها و ابزارهای تحلیلی است که توسط پژوهش‌گران ارائه شده است. بیشتر مطالعات و صورت‌گرفته در این زمینه تلاش در معرفی مقیاسی کمی داشته‌اند، که به اندیس خرابی (DI)<sup>[۱۹]</sup> معروف است و با استفاده از پارامترهای نظریه‌تئوری، کرنش و میزان انرژی تلف شده حاصل از تحلیل‌ها، میزان و شدت خرابی را در یک بارگذاری به صورت



شکل ۵. المان‌های میله‌یی کشسان غیرخطی قلاب - شکاف به همراه تکیه‌گاه‌های استفاده شده برای مدلسازی دیوار.

گرفته و به این صورت از لغزش پای دیوار در آزمایش جلوگیری شده است. در همین رابطه، در مدل تحلیلی از یک تکیه‌گاه فنر انتقالی در یک سمت دیوار با سختی زیاد برای جلوگیری از حرکت جانبی در اثر اعمال بار جانبی استفاده شده است.

#### ۳. بارگذاری لرزه‌یی

روش انتخاب و مقیاس کردن شتاب‌نگاشت‌های زلزله، که برای آنالیز غیرخطی تاریخچه‌ی زمانی استفاده شده است، طبق توصیه‌ی آین نامه‌ی بارگذاری نیوزلند بوده است.<sup>[۲۰]</sup> در آین نامه‌های سرتاسر جهان معمول است که دست‌کم ۷ رکورد سازگار با طیف طرح انتخاب و میانگین پاسخ آن‌ها برای بررسی رفتار سازه استفاده می‌شود. به همین ترتیب، مجموعه‌ی از ۷ شتاب‌نگاشت برای ارزیابی عملکرد دیوار موردنطالعه روی میز لرزه‌یی استفاده شده است.

مجموعه‌ی شتاب‌نگاشت‌های انتخاب شده با استفاده دو عامل ضریب مقیاس رکورد ( $k_1$ ) و ضریب مقیاس مجموعه‌ی شتاب‌نگاشت‌ها ( $k_2$ ) مقیاس شدن. جزئیات شتاب‌نگاشت‌ها و ضرایب مقیاس متناظر با آن‌ها در جدول ۱ ارائه شده است.<sup>[۱۹]</sup> هدف روش آین نامه‌ی نیوزلند این است که اختلاف بین طیف پاسخ شبه‌ی شتاب و طیف طرح در محدوده‌ی زمانی  $T_1 \leq ۰,۴T_۱$  تا  $۱,۳T_۱$  به میزان کمینه بررسد؛ که  $T_۱$  پیشنهادی زمان‌لرزه‌یی در جهت موردنظر است. طیف پاسخ زلزله‌های مقیاس شده و مقیاس نشده در سطح طراحی در شکل ۶ مشاهده می‌شود. زلزله‌هایی که مطابق با طیف طرح مقیاس شدند، از سطح لرزه‌یی

جدول ۲. مقادیر کمی شاخص خرابی به همراه تعریف کیفی متناظر با آن.

مقادیر کمی شاخص خرابی	درجه‌ی خرابی	مقادیر کیفی
پارک <sup>۱</sup> و همکاران <sup>[۳۷]</sup>	هیندی و سکسmit <sup>[۳۸]</sup>	کیم و همکاران <sup>[۳۹]</sup>
$1/\varepsilon <$	$1/\varepsilon <$	$1/\varepsilon <$
$1/\varepsilon = 0,75$	$1/\varepsilon = 0,4$	$1/\varepsilon = 0,4$
$0,75 - 0,4$	$0,4 - 0,2$	$0,4 - 0,25$
$0,4 - 0,1$	$0,2 - 0,1$	$0,25 - 0,1$
$0,1 >$	$0,1 >$	$0,1 >$

<sup>۱</sup>. Park<sup>۲</sup>. Hindi and Sexsmith

که از طریق رابطه‌ی ۵ محاسبه می‌شود:

$$ftg_c = 1 - \varepsilon / \beta_c \quad (3)$$

$$\beta_c = \sum_{i=1}^n \frac{1}{(N_{fc})_i} \quad (4)$$

$$\log \frac{N_{fc}}{k_c} = \begin{cases} \frac{1}{\varepsilon_{co} / 0.588} \left[ 1 - \frac{(\varepsilon_{co} - \varepsilon_{min})^{\gamma} - (\varepsilon_{co} - \varepsilon_{max})^{\gamma}}{(\varepsilon_{co} - \varepsilon_{min})^{\gamma}} \right] & \varepsilon_{max} < 0.7\varepsilon_{co} \\ \frac{1}{\varepsilon_{co,f} / 0.588} \left[ \left( \frac{\varepsilon_{max} - \varepsilon_{min}}{\varepsilon_{co,f} - 0.7\varepsilon_{co}} \right)^{\gamma} \right] & \varepsilon_{max} \geq 0.7\varepsilon_{co} \end{cases} \quad (5)$$

در رابطه‌ی ۴،  $\varepsilon_{co}$ ،  $\varepsilon_{min}$ ،  $\varepsilon_{max}$  به ترتیب کرنش نظری با بیشینه‌ی مقاومت فشاری بتن محصور نشده، کمینه و بیشینه‌ی کرنش در یک چرخه‌ی بارگذاری هستند. همچنین مقدار  $k_c$ ، که ضریب تغییرات بتن است، از رابطه‌های ۶ و ۷ محاسبه می‌شود.

$$k_c = 2s_k \quad (6)$$

$$s_k = \frac{f'_{cc}}{f'_{co}} \quad (7)$$

که در رابطه‌ی ۷،  $f'_{co}$ ،  $f'_{cc}$  به ترتیب مقاومت فشاری محصور نشده و محصور شده‌ی بتن هستند.

## ۵. نتایج مدل‌سازی دیوار گهواره‌ی مرکزگرای پس‌کشیده

در بخش حاضر، با توجه به توضیحاتی که در بخش‌های قبل در رابطه با مشخصات و نحوه‌ی مدل‌سازی دیوار آزمایش شده توسط تویدن و همکاران، <sup>[۱۹،۲۰]</sup> ارائه شده است، جهت اطمینان از صحت مدل تحلیلی غیرخطی پیشنهادی، منحنی بار جانی - تغییرمکان نسبی دیوار حاصل از کارآزمایش‌گاهی انجام شده و مدل تحلیلی غیرخطی دیوار با یکدیگر مقایسه شده‌اند. از آنجایی که در کار پژوهشی تویدن و همکاران، <sup>[۱۹،۲۱]</sup> از دو نوع بارگذاری، شامل بارگذاری چرخه‌ی و بارگذاری توسط میز لرزه‌ی استفاده شده است؛ نتایج حاصل از هر کدام به صورت مجرایاً مورد بررسی ارائه شده است. در بخش بعدی نتایج میزان خسارت وارد به دیوار گهواره‌ی آزمایش‌گاهی مقایسه صورت گرفته است.

### ۱.۵. صحبت‌سنگی مدل دیوار گهواره‌ی مرکزگرای تحت بارگذاری چرخه‌ی

در بخش کنونی، که با هدف شناسایی رفتار دیوارهای گهواره‌ی مرکزگرای تا مرحله‌ی خرابی بتن است،

عددی از یک دامنه‌ی کمی تعریف شده، ارائه می‌دهند. <sup>[۲۹-۳۷]</sup> در جدول ۲، سه شاخص خرابی کاربردی در سازه‌ها ارائه شده است.

اغلب شاخص‌های خسارت، که برآورد قابل قبولی از میزان خسارت وارد فراهم می‌کنند، طبیعتی تجمعی دارند و منعکس کننده‌ی واپشتگی میزان خسارت به عوامل دامنه و تعداد چرخه‌های بارگذاری هستند. از سوی دیگر، با نگاهی به ساختار دیوارهای گهواره‌ی مرکزگرای، که استفاده از کابل‌های پس‌کشیدگی غیرجنسیده در آن‌ها ماهیت مرکزگرایی را به وجود می‌آورند، باعث می‌شود تا در اغلب بارگذاری‌های تغییرمکان جانی نسبی مانندگار بسیار ناچیز باشد. از سوی دیگر، در بیشتر موارد رفتار کابل‌ها در محدوده‌ی کشسان باقی مانده و نواحی بتن پاشنه و محل اتصال فونداسیون و دیوار هستند که از خود رفتاری خمیری نشان می‌دهند. همچنین اتفاق از این‌روی غیرخطی در سیستم‌های ذکر شده در مقایسه با دیوارهای برشی متداول بسیار ناچیز خواهد بود؛ بنابراین استفاده از شاخص خسارت مبتنی بر انرژی اتلافی نمی‌تواند برای دیوارهای گهواره‌ی مرکزگرا منجر به محاسبه نتایج نزدیک به واقعیت شود. از آنجا که رفتار سازه و یا بخش‌هایی از آن در تحلیل‌های موردنظر برای محاسبه‌ی خسارت وارد در محدوده‌ی غیرخطی خواهد بود، برآورد خسارت وارد به این سازه‌ها باید با استفاده از شاخصی انجام شود که نه فقط عاملی همچون اتفاق از این‌روی المان را لحظه‌ی می‌کند، بلکه بتواند عواملی نظری تغییرات کرنش موجود در المان را نیز در نظر بگیرد. به همین علت، در پژوهش حاضر برای برآورد خسارت وارد به دیوارهای گهواره‌ی مرکزگرای موردنظر تحت بارگذاری زلزله از شاخص خسارت کیم و همکاران <sup>[۲۰،۲۱]</sup> استفاده شده است. ایشان برای محاسبه‌ی شاخص خسارت فشاری بتن، رابطه‌ی ۱ را ارائه داده‌اند:

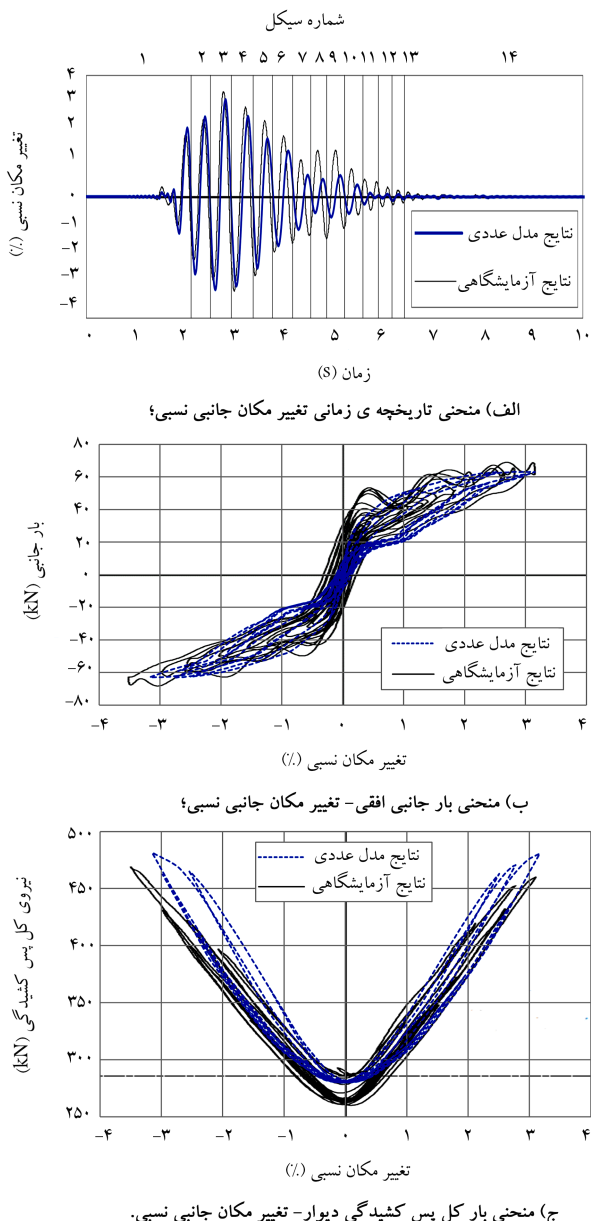
$$DI = 1 - ftg_c \left[ \frac{2\varepsilon_{cu,f} - \varepsilon_{cs}}{2\varepsilon_{cu,f}} \right]^2 \quad (1)$$

که در آن،  $\varepsilon_{cu}$  شاخص خسارت فشاری بتن، کرنش فشاری اصلی در المان بتن (معیار خرابی) است که مطابق رابطه‌ی ۲ محاسبه می‌شود:

$$\varepsilon_{cu,f} = 0,004 + \frac{1/4\rho_s f_{yh} \varepsilon_{sm}}{f'_{cc}} \quad (2)$$

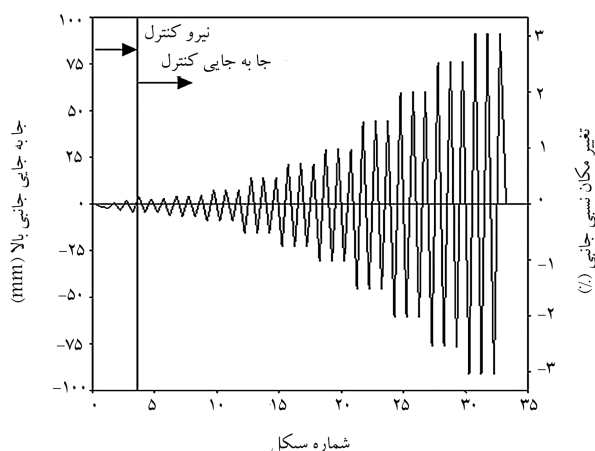
که در آن،  $\rho_s$  مقاومت فشاری اصلی بتن محصور شده،  $f_{yh}$  نتش تسیلیم فولاد عرضی محصور کننده و  $\varepsilon_{sm}$  کرنش متناظر با بیشترین نتش کششی فولاد هستند. از جمله پارامترهای رابطه‌ی شاخص خسارت فشاری:  $\varepsilon_{sm}$  کرنش فشاری اصلی بتن در گام موردنظر از آنالیز و  $ftg_c$  پارامتر خستگی بتن است، که از رابطه‌ی ۳ به دست می‌آیند، که در آن،  $\beta$  پارامتر تجمعی خسارت ناشی از خستگی بتن است که با استفاده از رابطه‌ی ۴ محاسبه می‌شود. همچنین در آن،  $N_{fc}$  تعداد چرخه‌های کامل بارگذاری تا مرحله‌ی خرابی بتن است.

چرخه‌یی شبیه استاتیک انجام شده است، ۱۱ سیکل بارگذاری به دیوار اعمال شده است (شکل ۷).<sup>[۱۲]</sup> برای رسم منحنی بار جانی - تغییرمکان جانی نسبی مدل تحت بارگذاری چرخه‌یی، پس از اعمال بار ثقلی دیوار و نیروی پس‌کشیدگی تاندون‌ها، بار جانی بارگذاری شتاب‌نگاشت تا سطح که ۷ شتاب‌نگاشت از سطح I به دربی به ترتیب شماره‌ی شتاب‌نگاشت تا سطح IV برابر بازگذاری جانی به دیوار اعمال شده است. پس از آن نیروی جانی خالص از بار زلزله‌یی مورد نظر و تغییرمکان جانی نسبی مدل در زلزله‌یی مشخص اندازه‌گیری شده است. به عنوان مثال، منحنی تاریخچه‌ی شتاب‌نگاشت ۳ سطح IV (زلزله با بیشینه‌ی جانی - تغییرمکان نسبی برای زلزله‌ی شتاب‌نگاشت ۳ سطح IV) در شکل ۸ از این بیشینه‌ی اندازه‌گیری اتفاق ندارد، به دست آید. پس از آن با اندازه‌گیری پرش پایه‌ی دیوار حاصل از شکل ۷ وجود دارد، به دست آید. تغییرمکان جانی نسبی مدل در هرگام، منحنی بار جانی - بارگذاری جانی اتفاق و تغییرمکان جانی نسبی مدل در هرگام پیش‌نهاده می‌شود، که مطابق آن، مدل عددی پیشنهادی با دقت قابل قبولی پارامترهای نظر سختی اولیه، سختی پس از تسلیم، بیشینه‌ی نیروی مقاوم جانی و بیشینه‌ی تغییرمکان نسبی را برآورده است. در هر دو جهت مثبت و منفی منحنی شکل ۸، پیش‌بینی نیروی مقاوم جانی و تغییرمکان نسبی، یکسان و تقریباً برابر با مقدار پارامتر مذکور در دیوار مورد مطالعه‌ی آزمایشگاهی است.

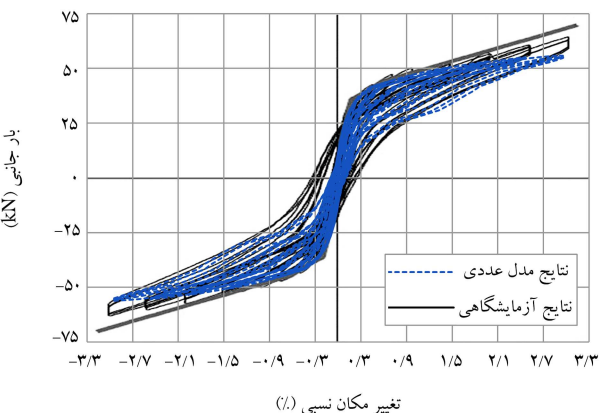


شکل ۹. نتایج مدل غیرخطی پیشنهادی در مقایسه با دیوار آزمایش شده،<sup>[۱۳]</sup> تحت بارگذاری زلزله (شتتاب‌نگاشت ۳ سطح IV).

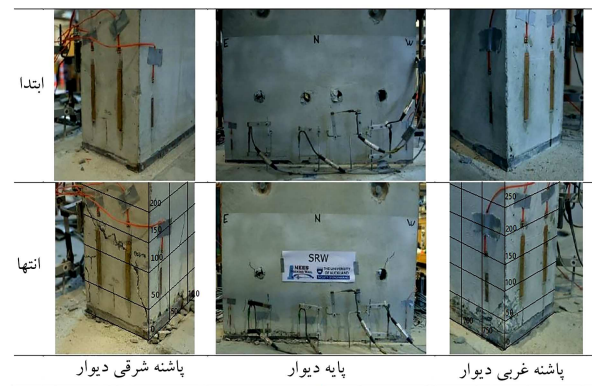
**۲.۵. صحبت‌سنگی مدل دیوار گهواره‌یی مرکزگرا تحت بارگذاری زلزله** با هدف شناسایی رفتار لرزه‌یی دیوارهای گهواره‌یی مرکزگرا در بخش حاضر، مجموعه‌یی از ۷ زلزله مطابق طیف طرح در ۴ سطح لرزه‌یی مختلف به دیوار اعمال شده است، که مشخصات آن‌ها در جدول ۱ ارائه شده است. برای رسم منحنی بار جانی -



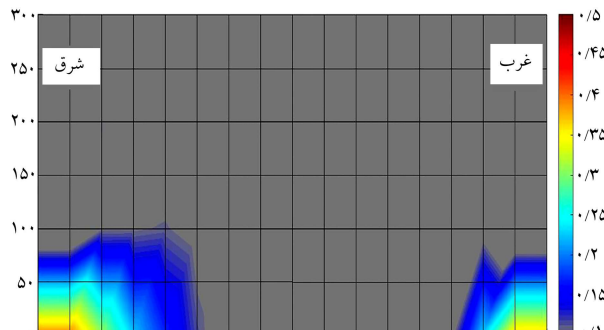
شکل ۷. منحنی تاریخچه‌ی بارگذاری دیوار گهواره‌یی آزمایش شده.<sup>[۱۲]</sup>



شکل ۸. منحنی بار جانی - تغییرمکان جانی نسبی مدل پیشنهادی،<sup>[۱۴]</sup> در مقایسه با دیوار آزمایش شده،<sup>[۱۲]</sup> تحت بارگذاری چرخه‌یی.



الف) خسارت وارد به پاشنه‌ی دیوار مورد آزمایش در انتهای بارگذاری جانبی زلزله [۱۹]؛



ب) کانتور اندیس خسارت بتون در سطح دیوار در زلزله‌ی شتاب نگاشت ۳ سطح IV.

شکل ۱۰. مقایسه خسارت برآورده شده با استفاده از شاخص خسارت مورد استفاده و مدل عددی توسعه داده شده با خسارت مشاهده شده در آزمایش.

مشخص شده در شکل ۹ - الف، مقادیر کرنش‌های محوری و برشی المان مورد نظر از نتایج مدل تحلیلی دیوار استخراج و سپس شاخص خرابی المان برای تمامی سیکل‌ها به صورت جداگانه طبق رابطه‌ی ۱ محاسبه شده است. در نهایت، بیشترین مقدار شاخص خسارت برآورده شده برای سیکل‌های پاسخ سازه، به عنوان اندیس خسارت فشاری المان موردنظر تحت بارگذاری زلزله در نظر گرفته شده است. این روند برای همه المان‌های دیوار تکرار و مقادیر کمی خسارت برای کل سطح دیوار برآورده شده است.

در شکل ۱۰ - الف دیوار گهواره‌ی تنها، قبل و بعد از اتمام آزمایش مشاهده می‌شود. با توجه نتایج آزمایش‌گاهی، خسارت جزئی فقط به المان مرزی دیوار محدود شده و بزرگ‌ترین ترک در پاشنه‌ی شرقی دیوار تحت زلزله‌ی شتاب نگاشت ۳ سطح IV اتفاق افتاده و ترک اخیر، فقط در پوشش میلگردی‌های دیوار نفوذ داشته و بیش از آن گسترش پیدا نکرده است. [۱۹] کانتور اندیس خسارت برآورده شده برای دیوار در سطح آن در بزرگ‌ترین زلزله‌ی اعمال شده (شتاب نگاشت ۳ سطح IV)، در شکل ۱۰ - ب ارائه شده است.

با توجه به تعریف اندیس خسارت استفاده شده می‌توان چنین بیان کرد که قسمت‌هایی از دیوار که در سلامتی کامل هستند، اندیس خسارتی کمتر از ۱٪ دارند، که در شکل ۱۰ - ب با رنگ خاکستری از سایر نقاط تفکیک شده‌اند. همان‌طور که مشاهده می‌شود، میزان خسارت در بیشتر نقاط دیوار مورد مطالعه ناچیز است و به جزئیاتی اندکی از پاشنه‌ی دیوار، که مقدار اندیس خسارت حدود ۴٪ (رنگ نارنجی) است، بقیه‌ی نقاط در محدوده‌ی کمتر از ۴٪ هستند، که شامل ترک‌های جزئی و مویی تا کنده شدن اندک بتون، فقط در پوشش آن است. همان‌طوری

به عنوان تابعی از زمان با استفاده از این مدل تحلیلی به طور مناسبی در سیکل‌های اولیه و بیشینه با نتایج آزمایش‌گاهی منطبق است. با مقایسه‌ی منحنی بارگذاری - تغییرمکان نسبی دیوار آزمایش شده و مدل عددی غیرخطی آن می‌توان دریافت که رفتار مدل دیوار با دقت بسیار بالایی، بر رفتار دیوار آزمایش شده مطابقت دارد و می‌توان از صحبت مدل سازی دیوار اطمینان حاصل کرد. همچنین نتایج نشان می‌دهند که مدل عددی پیشنهادی با دقت قابل قبولی، پارامترهایی نظری تغییرمکان جانبی نسبی و بیشینه‌ی نیروی جانبی را در بارگذاری زلزله‌ی مشخص ذکر شده برآورده است. منحنی نیروی کل پس‌کشیدگی کابل - تغییرمکان جانبی نسبی در شکل ۹ - ج نشان داده شده است، که منظور از نیروی پس‌کشیدگی کل، مجموع نیروی پس‌کشیدگی حاصل از سه کابل موجود در دیوار است. در منحنی‌ی اخیر، پاسخ کابل پس‌کشیده در جهت بارگذاری مشتبه با نتایج حاصل از کار آزمایش‌گاهی مطابقت نزدیکی دارد و در جهت بارگذاری منفی، میزان نیروی پس‌کشیدگی مدل پیشنهادی، مقداری بیشتر از مدل آزمایش‌گاهی نشان داده شده است. در نتایج آزمایش‌گاهی، کاهش نیروی پس‌کشیدگی از ۲۸۷ به ۲۵۰ کیلو نیوتون مشاهده می‌شود، که این موضوع به دلیل افزایش تغییرمکان نسبی سازه به بیش از ۳٪ لغزش پای دیوار عنوان شده است. [۱۹] که در مدل تحلیلی، لغزش پای دیوار مشاهده نشده است.

با توجه به آنچه گفته شد، با بررسی میزان کرنش برشی مدل غیرخطی دیوار حاصل از بارگذاری می‌توان دریافت که تسليم برشی در طول بارگذاری رخ نداده است؛ بنابراین می‌توان فرض اولیه لحاظ شده در خصوص حاکم بودن رفتار خمی‌ی دیوارهای گهواره‌ی مذکور را صحیح دانست. به عبارت دیگر، استفاده از المان‌های دیوار برشی برای مدل سازی دیوارهای گهواره‌ی مرکزی‌را با کابل پس‌کشیدگی به نتایج مطابق منجر شده است. همچنین تفاوت اندک میان نتایج تحلیل عددی و نتایج آزمایش‌گاهی را می‌توان ناشی از مواردی نظری خطاهای حاصل از مدل سازی مصالح چندکانه با روش اجزاء محدود و یا عدم قطعیت موجود در مشخصات مکانیکی مصالح استفاده شده دانست.

### ۳.۵. برآورده خسارت در مدل عددی دیوار تحت زلزله

برای بررسی میزان خرابی وارد به دیوار، همان‌طور که پیشتر نیز گفته شد، از شاخص خسارت فشاری پیشنهادی توسط کیم و همکاران (۵۰۰۲)، [۲۹] استفاده شده است. شاخص خسارت فشاری اخیر، خرابی نقطه‌ی خردشده‌ی بتن (خرابی فشاری) را متناظر با عدد ۷۵٪ لحاظ می‌کند، همچنین شاخص ذکر شده، عدد ۴٪ را برای وضعیت خسارت غیرقابل تعمیر (کنده شدن میزان قابل توجهی از پوشش بتن) که در آن کرنش فشاری اصلی در المان بتن به مقدار کرنش فشاری در بیشینه‌ی تشخیصی بتن می‌رسد، مربوط می‌داند.

مطابق رابطه‌ی ارائه شده توسط کیم و همکاران (۵۰۰۲)، [۲۹] شاخص خسارت فشاری بتن به سیکل‌های مختلف بارگذاری و همچنین کرنش محوری و برشی المان‌ها واپسی است. در بارگذاری زلزله بخلاف بارگذاری چرخه‌ی، سیکل‌های رفت و برگشت مشخصی وجود ندارد و به همین دلیل برای بدست آوردن شاخص خرابی تحت بارگذاری زلزله از سیکل‌های پاسخ تغییرمکان نسبی دیوار پس از بارگذاری استفاده شده است. در شکل ۹ - الف، منحنی تاریخچه‌ی زمانی تغییرمکان نسبی جانبه‌ی دیوار مشاهده می‌شود، که مطابق آن علاوه بر نتایج مدل عددی و آزمایش‌گاهی، سیکل‌های مختلف پاسخ دیوار به زلزله در نتایج مدل عددی مشخص شده است. در برآورده شاخص خرابی دیوار بدین صورت عمل شد که در بازه‌ی زمانی هر سیکل

روشی که برای مدل‌سازی رفتار غیرخطی دیوار گهواره‌بی مرکزگرا تحت بار چرخه‌بی استفاده شده است، به مجموعه‌بی از نتایج منجر شده است که به طور قابل قبولی با رفتار واقعی دیوار تحت آزمایش تطابق دارد. همچنین استفاده از مدل عددی اخیر تحت بارگذاری زلزله، رفتار دیوار را با دقت بسیار بالایی شبیه‌سازی کرده است؛ بنابراین می‌توان از صحت مدل‌سازی اجزاء محدودی دیوار اطمینان حاصل کرد. در هر دو حالت بارگذاری چرخه‌بی و بارگذاری زلزله، پیش‌بینی تغییر مکان جانبه نسبی و میزان بار جانبه در حد قابل قبولی به نتایج آزمایشگاهی نزدیک بوده است. همچنین با بررسی کرنش بشی مدل غیرخطی دیوار می‌توان فرض اولیه درخصوص حاکم بودن رفتار خمشی دیوار گهواره‌بی را صحیح دانست.

با استفاده از شاخص خرابی مناسب و نتایج حاصل از بارگذاری مدل عددی تحت زلزله، مقادیر کمی شاخص خسارت محاسبه شده است. مقادیر کرنش‌های محوری و بشی از نتایج مدل تحلیلی دیوار، استخراج و سپس شاخص خرابی المان برای تمامی سیکل‌ها محاسبه شده است. در نهایت بیشترین مقدار، به عنوان اندیس خسارت فشاری المان مورد نظر تحت بارگذاری زلزله در نظر گرفته شده است. مقایسه‌ی خرابی مدل عددی و دیوار آزمایشگاهی تحت بار زلزله، انتظام بالایی را در میزان خسارت وارد به دیوار نشان داده است؛ همچنین در هر دو مورد، خسارت جزئی قابل رویت فقط در محدوده‌ی المان مرزی دیوار رخ داده و در بزرگ‌ترین زلزله‌ی آزمایش انجام شده، میزان خسارت در پاشنه‌ی شرقی شدیدتر بوده است. در نتیجه روش ارائه شده برای محاسبه‌ی شاخص خرابی، به درستی می‌تواند خسارت ناشی از دیوارهای گهواره‌بی مرکزگرا تحت زلزله را پیش‌بینی کند و همچنین می‌تواند برای به دست آوردن برآورد دقیق خسارت و پیش‌بینی رفتار دیوارهای گهواره‌بی مرکزگرا تحت بارگذاری زلزله استفاده شود.

که مشاهده می‌شود، میزان خرابی در پاشنه‌ی شرقی دیوار هم در مدل و هم در دیوار آزمایشگاهی اندرکی شدیدتر است. با مقایسه‌ی شکل‌های ۱۰ (الف و ب) می‌توان دریافت که شاخص خرابی پیشنهادی قادر است با دقت قابل قبولی میزان آسیب وارد به سطح دیوار را برآورده کند.

## ۶. نتیجه‌گیری

در پژوهش حاضر از المان‌های اجزاء محدود پوسته‌بی چندلایه با مقطع فایبر برای مدل‌سازی رفتار غیرخطی دیوارهای گهواره‌بی مرکزگرا استفاده شده است. این رفتار با بهکارگیری دو لایه‌ی خمشی - محوری برای بتن و فولاد و یک لایه‌ی بشی مدل‌سازی شده است. کابل‌های پس‌کشیدگی غیرچسیده توسط المان‌های میله‌بی شکل، که خصوصیاتی مشابه با مصالح واقعی کابل دارند، مدل شده‌اند. در نهایت رفتار گهواره‌بی تکیه‌گاه‌های دیوار به‌وسیله‌ی المان‌های میله‌بی قلاب - شکاف شبیه‌سازی شده‌اند. همچنین خسارت وارد به دیوارهای گهواره‌بی مرکزگرا تحت بارگذاری زلزله، با استفاده از شاخص خرابی المان‌های مناسب برآورده شده است. شاخص خرابی مورد استفاده در پژوهش حاضر، که بر اساس نتایج تحلیل اجزاء محدود به دست آمده است، برآورده کمی از میزان خسارت المان‌های بتی فراهم می‌کند. به علت خصوصیات منحصر به‌فرد دیوارهای گهواره‌بی مرکزگرا، فقط به معرفی شاخص خسارت فشاری پرداخته شده و این نتایج با در نظر گرفتن مدل عددی پیشنهادی و مقایسه‌ی آن با نتایج حاصل از آزمایش بارگذاری به دست آمده است:

### 19. damage index

#### پانوشت‌ها

1. residual drift
2. self-centering rocking walls
3. quasi-static
4. shake table testing
5. twigden and henry
6. Kurama et al.
7. finite element models
8. Ma
9. single rocking wall
10. shear wall element
11. tension-only inelastic steel materials
12. prestressing strand
13. devalapura and tadros
14. nonlinear elastic gap-hook bar element
15. serviceability I level
16. serviceability II level
17. design level
18. maximum intensity level

#### منابع (References)

1. "EERI, The Mw 7.1 Erci §-Van, Turkey Earthquake of October 23, 2011", Earthquake Engineering Research Institute (2012).
2. Pilakoutas, K. and Elnashai, A.S. "Cyclic behavior of reinforced concrete cantilever walls, part II: discussions and theoretical comparisons", *ACI Structural Journal*, **92**(4) (1995).
3. Holden, T., Restrepo, J. and Mander, J.B. "Seismic performance of precast reinforced and prestressed concrete walls", *Journal of Structural Engineering*, **129**(3), pp. 286-296 (2003).
4. Ajrab, J.J., Pekcan, G. and Mander, J.B. "Rocking wall-Frame structures with supplemental tendon systems",

- Journal of Structural Engineering*, **130**(6), pp. 895-903 (2004).
5. Shen, Q. and Kurama, Y.C. "Nonlinear behavior of post-tensioned hybrid coupled wall subassemblages", *Journal of Structural Engineering*, **128**(10), pp. 1290-1300 (2002).
  6. Marini, A., Riva, P. and Fattori, L. "Repair and retrofitting of structural RC walls by means of post-tensioned tendons", *In Proceedings of the 6<sup>th</sup> International Conference on Fracture Mechanics of Concrete and Concrete Structures* (2007).
  7. Restrepo, J.I. and Rahman, A. "Seismic performance of self-centering structural walls incorporating energy dissipators", *Journal of Structural Engineering-Asce*, **133**(11), pp. 1560-1570 (2007).
  8. Smith, B.J., Kurama, Y.C. and McGinnis, M.J. "Design and measured behavior of a hybrid precast concrete wall specimen for seismic regions", *Journal of Structural Engineering*, **137**(10), pp. 1052-1062 (2011).
  9. Henry, R.S., Brooke, N.J., Sritharan, S. and et al. "Defining concrete compressive strain in unbonded post-tensioned walls", *ACI Structural Journal*, **109**(1) (2012).
  10. Perez, F.J., Pessiki, S. and Sause, R. "Experimental lateral load response of unbonded post-tensioned precast concrete walls", *ACI Structural Journal*, **110**(06), pp. 1045 -1055 (2013).
  11. Sritharan, S., Aaleti, S., Henry, R.S. and et al. "Precast concrete wall with end columns (PreWEC) for earthquake resistant design", *Earthquake Engineering & Structural Dynamics*, **44**(12), pp. 2075-2092 (2015).
  12. Twigden, K.M., Sritharan, S. and Henry, R.S. "Cyclic testing of unbonded post-tensioned concrete wall systems with and without supplemental damping", *Engineering Structures*, **140**, pp. 406-420 (2017).
  13. Hassani, B. and Jafari, A. "An Investigation on the seismic performance of reinforced concrete panel structures", *Asian Journal of Civil Engineering (Building and Housing)*, **13**(2), pp. 181-193 (2012).
  14. Wight, G.D. "Seismic performance of a post-tensioned concrete masonry wall system, in department of civil and environmental engineering", University of Auckland: Auckland, New Zealand (2006).
  15. Marriott, D.J. "The development of high-performance post-tensioned rocking systems for the seismic design of structures", University of Canterbury: Christchurch, New Zealand (2009).
  16. Caballero-Morrison, K.E., Bonet, J.L., Navarro-Gregori, J. and et al. "Behaviour of steel-fibre-reinforced normal-strength concrete slender columns under cyclic loading", *Engineering Structures*, **39**, pp. 162-175 (2012).
  17. Nazari, M., Sritharan, S. and Aaleti, S. "Single precast concrete rocking walls as earthquake force-resisting elements", *Earthquake Engineering & Structural Dynamics*, **46**(5), pp. 753-769 (2017).
  18. Nazari, M. "Seismic performance of unbonded post-tensioned precast wall systems subjected to shake table testing", Iowa State University: Ames, Iowa, USA (2016).
  19. Twigden, K.M. and Henry, R.S. "Shake table testing of unbonded post-tensioned concrete walls with and without additional energy dissipation", *Soil Dynamics and Earthquake Engineering*, **119**, pp. 375-389 (2019).
  20. Pampanin, S., Priestley, M.J.N. and Sritharan, S. "Analytical modelling of the seismic behaviour of precast concrete frames designed with ductile connections", *Journal of Earthquake Engineering*, **05**(03), pp. 329-367 (2001).
  21. Palermo, A., Pampanin, S. and Calvi, G.M. "Concept and development of hybrid solutions for seismic resistant bridge systems", *Journal of Earthquake Engineering*, **09**(06), pp. 899-921 (2005).
  22. Palermo, A., Pampanin, S. and Marriott, D. "Design, modeling, and experimental response of seismic resistant bridge piers with posttensioned dissipating connections", *Journal of Structural Engineering*, **133**(11), pp. 1648-1661 (2007).
  23. Lin, C.-P., Wiebe, R. and Berman, J.W. "Analytical and numerical study of curved-base rocking walls", *Engineering Structures*, **197**, p. 109397 (2019).
  24. Kurama, Y., Pessiki, S., Sause, R. and et al. "Lateral load behavior and seismic design of unbonded post-tensioned precast concrete walls", *ACI Structural Journal*, **96**(4), pp. 622-632 (1999).
  25. Kurama, Y.C. and Shen, Q. "Seismic design and response evaluation of unbonded post-tensioned hybrid coupled wall structures", *Earthquake Engineering and Structural Dynamics*, **37**(14), pp. 1677-1702 (2008).
  26. Ma, Q., Acikgoz, S., Palermo, A. and et al. "Experimental identification of the dynamic characteristics of a flexible rocking structure", *Journal of Earthquake Engineering*, **20**(8), pp. 1199-1221 (2016).
  27. Jafari, A., Ghasemi, M.R., Akbarzadeh Bengar, H. and et al. "Modeling of dynamic behavior and estimation of damage incurred by self-centering rocking walls", *Journal of Rehabilitation in Civil Engineering*, **4**(2), pp. 93-108 (2016).
  28. Jafari, A., Ghasemi, M.R., Akbarzadeh Bengar, H. and et al. "Seismic performance and damage incurred by monolithic concrete self-centering rocking walls under the effect of axial stress ratio", *Bulletin of Earthquake Engineering*, **16**, pp. 831-855 (2017).
  29. Jafari, A., Ghasemi, M.R., Akbarzadeh Bengar, H. and et al. "A novel method for quantifying damage to cast-in-place self-centering concrete stepping walls", *Structural Concrete*, **19** (6), pp. 1713-1726 (2018).
  30. Jafari, A. and Dugnani, R. "Estimation of load-induced damage and repair cost in post-tensioned concrete rocking walls", *Journal of Shanghai Jiaotong University (Science)*, **23**(1), pp. 122-131 (2018).
  31. NZS. "Structural design actions, part 5: earthquake actions-new zealand (NZS 1170.5)", Council of Standards New Zealand: Wellington, New Zealand (2004).
  32. CSI. "Perform components and elements for perform-3D and performcollapse, berkeley", California, USA: Computers and Structures Inc. (2018).
  33. Mander, J.B., Priestley, M.J. and Park, R. "Theoretical stress-strain model for confined concrete", *Journal of Structural Engineering*, **114**(8), pp. 1804-1826 (1988).

۳۴. Esfandiari, A. "Shear strength of structural concrete members using a uniform shear element approach", University of British Columbia, Vancouver, Canada (2009).
۳۵. ASCE. "Seismic rehabilitation of existing buildings (ASCE/SEI 41-06)", American Society of Civil Engineering, Reston, Virginia, USA (2007).
۳۶. Devalapura, R.K. and Tadros, M.K. "Stress-strain modeling of 270 ksi low-relaxation prestressing strands", *PCI Journal*, **37**(2), pp. 100-105 (1992).
۳۷. Park, Y.J., Ang, A.H.S. and Wen, Y.K. "Damage-limiting aseismic design of buildings", *Earthquake Spectra*, **3**(1), pp. 1-26 (1987).
۳۸. Hindi, R.A. and Sexsmith, R.G. "A proposed damage model for RC bridge columns under cyclic loading", *Earthquake Spectra*, **17**(2), pp. 261-290 (2001).
۳۹. Kim, J. and Choi, H. "Response modification factors of chevron-braced frames", *Engineering Structures*, **27**(2), pp. 285-300 (2005).
۴۰. Jafari, A., Akbarzadeh Bengar, H., Hassanli, R. and et al. "The response of self-centering concrete walls under quasi-static loading", *Bulletin of Earthquake Engineering*, **19**, pp.2893 -2917 (2021).
۴۱. Jafari, A., Preti, M., Beheshti, M. and et al. "Self-centering walls strengthening by high-performance concrete: a feasibility study", *Materials and Structures*, **54**, pp.117 (2021).